

# 数字锁相回路的设计

郭兆曾

(北京控制工程研究所)

## 摘要

本文提出了一种采用新型校正网络的数字锁相回路。它适用于低频(小于1Hz)锁相系统，具有精度高、动态响应快和频率锁定范围宽等特点。

## 一、引言

锁相回路的研究由来已久<sup>[1,2]</sup>，应用范围也不断扩大，至今仍有旺盛的生命力。但是对于系统的重要环节之一——校正网络，至今仍沿用传统的无源R-C网络和有源R-C网络。当系统参考信号的频率非常低(小于1Hz)，频带非常宽，并且频率还要随时间变化的情况下，如果要求系统有快的动态响应和高的跟踪精度，则沿用传统概念远远不能满足实际需要。本文所述系统的特点是采用两个可逆计数器(或积分器)实现比例-积分校正，并兼作一般采样系统中的零阶保持器和限幅器。详见图1。参考信号可以是脉冲串，也可以是方波。

参考信号和反馈信号，经鉴频-鉴相器鉴频鉴相后输出方波。一方面利用该方波的前沿微分后，使可逆计数器归零；另一方面，根据系统要求调制成两种不同频率的窄脉冲，分别送到可逆计数器和累加可逆计数器。容易看出，可逆计数器就是比例环节，累加可逆计数器就是积分环节。当可逆计数器计满后，输出停止计数指令，用以实现宽度限制(见图2)。当方波过后，两个计数器都要保持到下一个周期再计数。

VCO可以是数字的，也可以是模拟的，采用数字的可以提高精度。分频后将频率转换成相位，和参考信号比相。鉴频-鉴相器也是多种多样<sup>[3]</sup>，采用限幅器可以减小超调，缩短过渡过程。

本文利用采样系统理论分析了系统的稳定性、稳态误差、过渡过程，利用模拟计算和数值计算选择系统参数，并且用优选法求出过渡过程最短的最佳参数<sup>[4,5,6]</sup>。

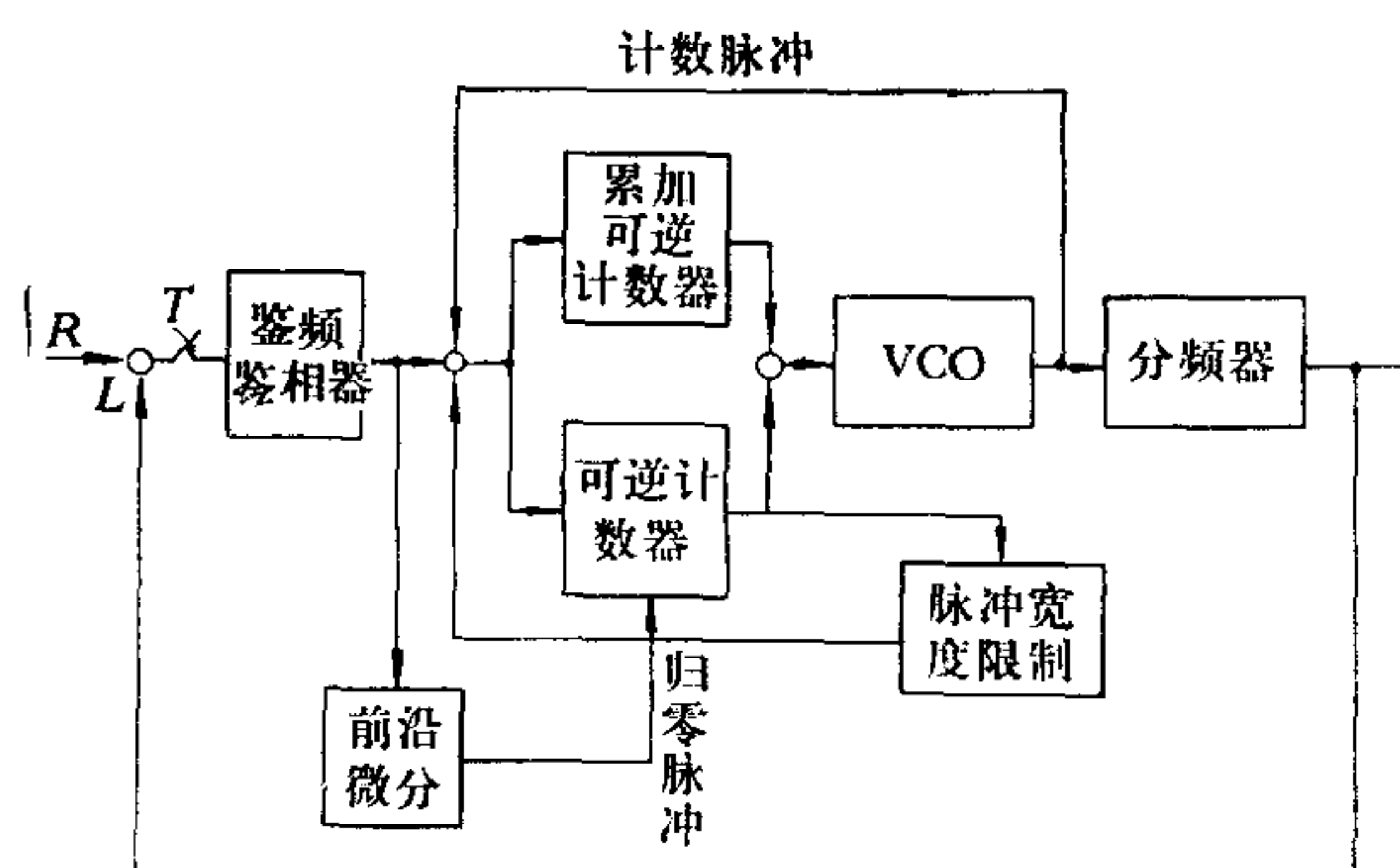


图1 原理方框图

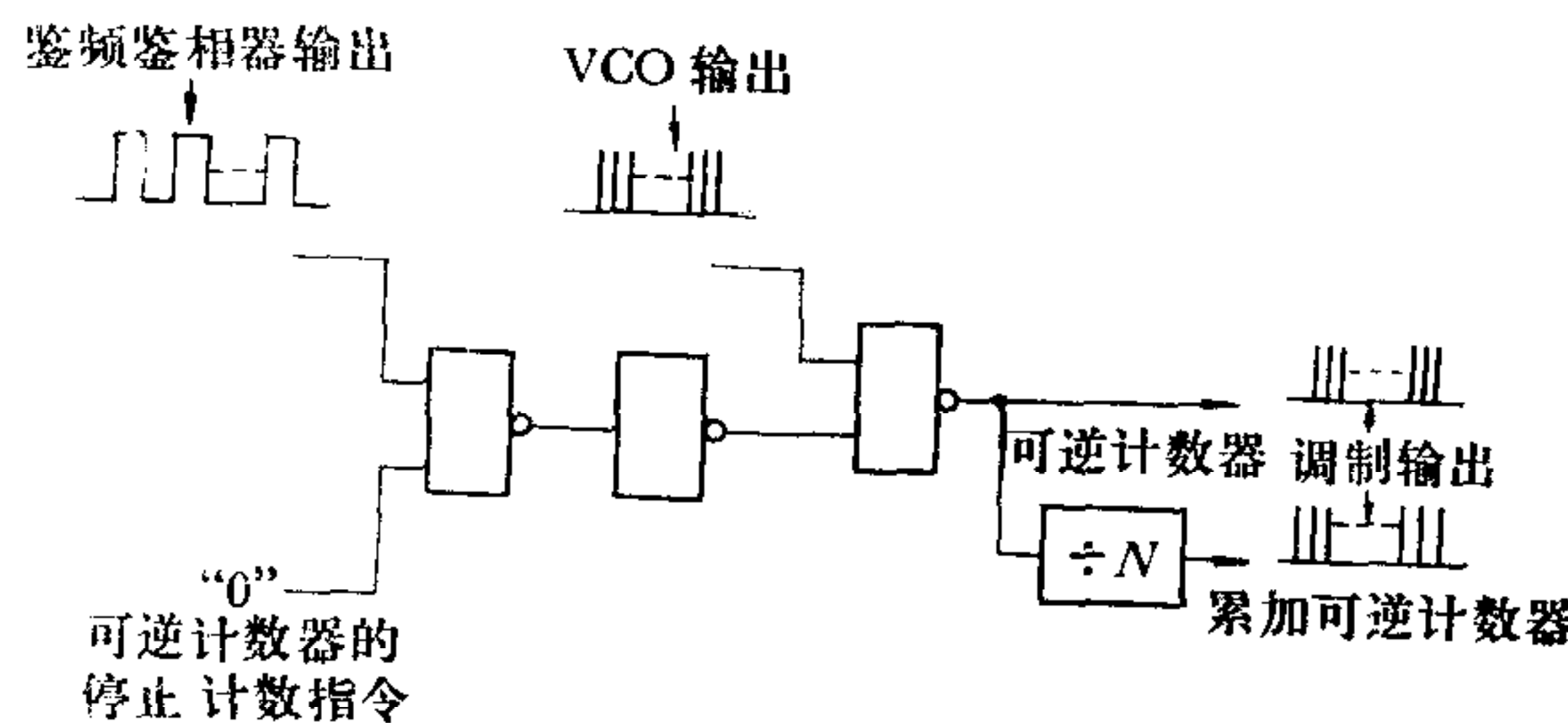
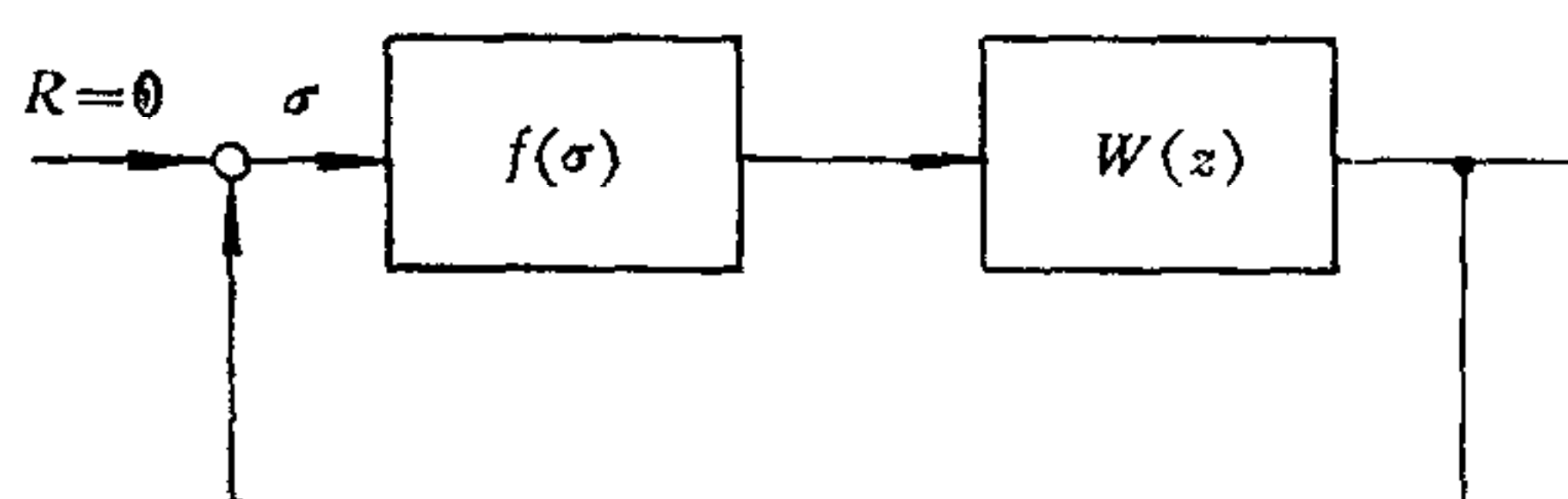


图 2 宽度限制和调制示意图

## 二、系统分析

### 1. 预备知识

**定理 1** (V. M. Popov) 已知系统如图 3 所示。其中  $f(\sigma)$  为非线性函数； $W(z)$  为系统线性部分传递函数的  $z$  变换式，该图如满足下述条件：



a.  $W(z)$  是稳定的；

b.  $f(0) = 0, 0 < \frac{f(\sigma)}{\sigma} < k$ , 当  $\sigma \neq 0$ ；

c.  $Re[W(e^{j\omega T})] > -\frac{1}{k}$ .

图 3 具有一个非线性函数的系统方框图

则系统是绝对稳定的。

### 定理 2. Sehur-Cohn 稳定准则：

已知线性采样-数字系统的特征方程：

$$Q(z) = a_n z^n + a_{n-1} z^{n-1} + \cdots + a_0 = 0$$

取

$$\Delta_k = \begin{vmatrix} a_0, & 0, & \cdots, & 0 & | & a_n, & a_{n-1}, & \cdots, & a_{n-k+1} \\ a_1, & a_0, & \cdots, & 0 & | & 0, & a_n, & \cdots, & a_{n-k+2} \\ \cdots & \cdots & \cdots & \cdots & | & \cdots & \cdots & \cdots & \cdots \\ a_{k-1}, & a_{k-2}, & \cdots, & a_0 & | & 0, & 0, & \cdots, & a_n \\ \bar{a}_n, & 0, & \cdots, & 0 & | & \bar{a}_0, & \bar{a}_1, & \cdots, & \bar{a}_{k-1} \\ \bar{a}_{n-1}, & \bar{a}_n, & \cdots, & 0 & | & 0, & \bar{a}_0, & \cdots, & \bar{a}_{k-2} \\ \cdots & \cdots & \cdots & \cdots & | & \cdots & \cdots & \cdots & \cdots \\ \bar{a}_{n-k+1}, & \bar{a}_{n-k+2}, & \cdots, & \bar{a}_n & | & 0, & 0, & \cdots, & \bar{a}_0 \end{vmatrix}$$

其中  $\bar{a}_k$  是  $a_k$  的共轭复数 ( $k = 0, 1, \dots, n$ )，若

$\Delta_k < 0$ , 当  $k$  为奇数；

$\Delta_k > 0$ , 当  $k$  为偶数；

则特征方程的根处于单位圆内，故系统稳定。

**定理 3.** 终值定理：已知线性系统如图 4 所示，

其中  $\phi_1(z)$  为输入的  $z$  变换； $\phi_{ss}(z)$  为误差的  $z$  变换； $W(z)$  为系统线性部分传递函数的

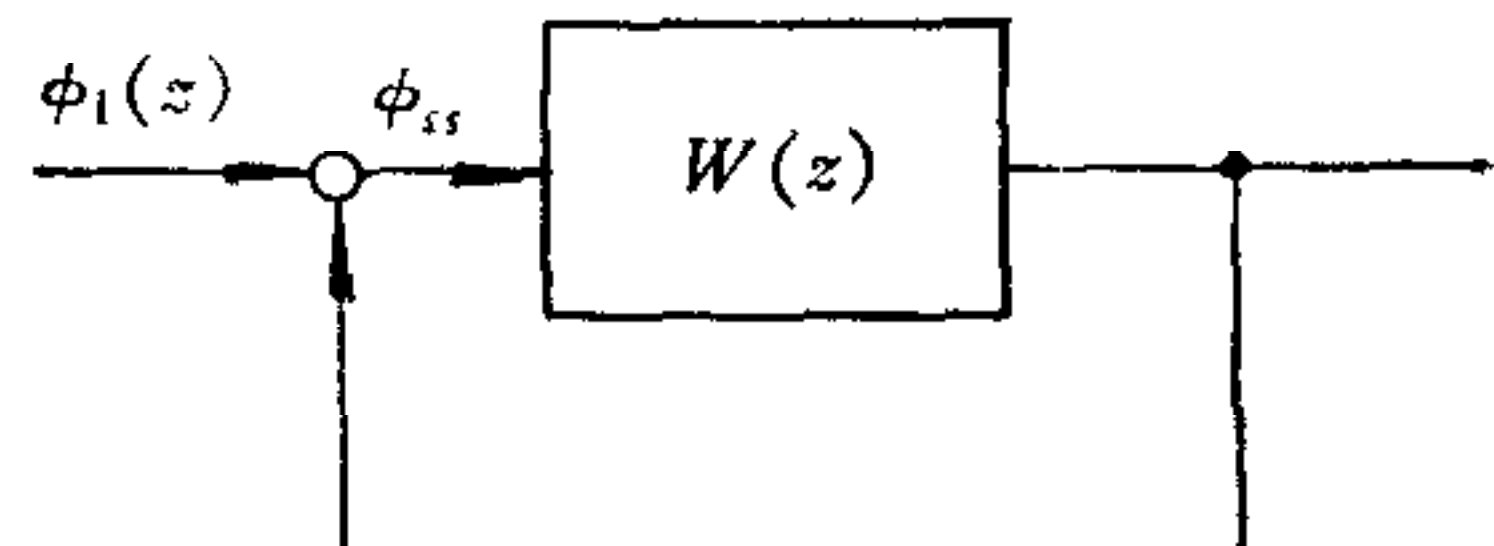


图 4 线性系统

$z$  变换，则系统的稳态误差：

$$\phi_{ss} = \lim_{t \rightarrow \infty} \phi(t) = \lim_{z \rightarrow 1} \frac{(z-1)\phi_1(z)}{z[1+W(z)]}.$$

为了进行理论分析，图 1 表示的系统可抽象为如图 5 所示的数学模型。

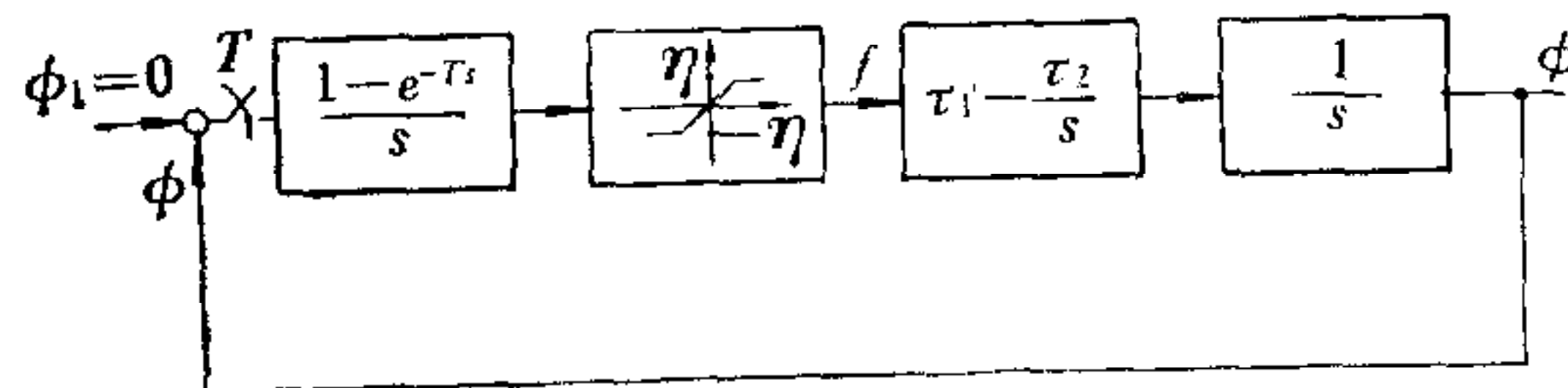


图 5 系统传递函数

则

$$W(s) = \frac{1 - e^{-Ts}}{s} \times \frac{\tau_1 s + \tau_2}{s^2}, \quad (1)$$

取  $z$  变换得：

$$W(z) = \frac{\left(\tau_1 T + \frac{\tau_2 T^2}{2}\right) z + \left(-\tau_1 T + \frac{\tau_2 T^2}{2}\right)}{(z-1)^2}. \quad (2)$$

其中  $T$  为采样周期。

## 2. 稳定性分析

下面用 Popov 定理证明系统稳定性。显然和  $W(z)$  对应的特征方程为：

$$Q(z) = z^2 - 2z + 1 = 0,$$

则

$$\Delta_1 = \begin{vmatrix} a_0 & a_n \\ \bar{a}_n & \bar{a}_0 \end{vmatrix} = \begin{vmatrix} 1 & 1 \\ 1 & 1 \end{vmatrix} = 0 < 0$$

故不满足定理条件，为此引入局部反馈和正馈结构变换，见图 6。

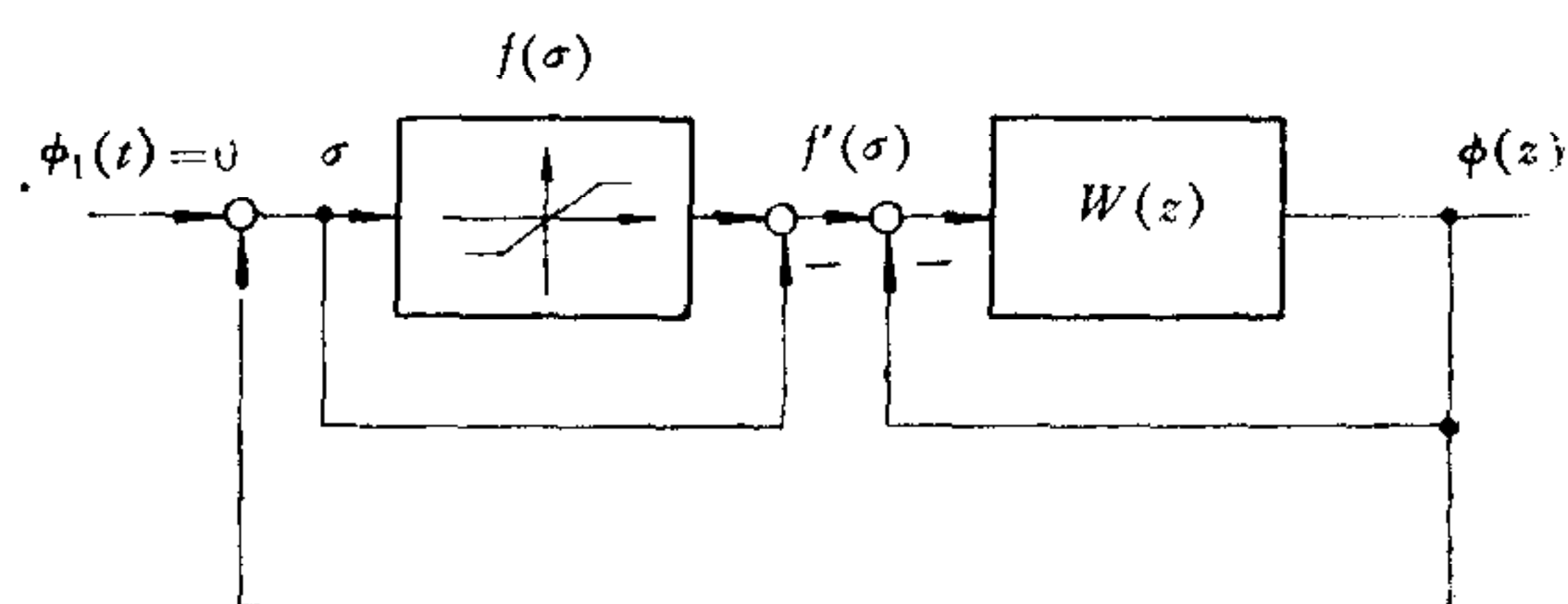


图 6

令

$$\begin{cases} f'(\sigma) = -\sigma + f(\sigma), \\ W'(z) = \frac{W(z)}{1 + W(z)}. \end{cases} \quad (3)$$

把 (2) 代入 (3) 得：

$$W'(z) = \frac{2\tau_1 T(z-1) + \tau_2 T^2(z+1)}{z^2 + \left(\tau_1 T + \frac{\tau_2 T^2}{2} - 2\right)z + \left(\frac{\tau_2 T}{2} - \tau_1 T + 1\right)}. \quad (4)$$

相应的特征方程是：

$$Q(z) = z^2 + \left(\tau_1 T + \frac{\tau_2 T^2}{2} - 2\right)z + \left(\frac{\tau_2 T}{2} - \tau_1 T + 1\right). \quad (5)$$

根据 Schur-Cohn 准则，若满足以下条件：

$$\begin{cases} 0 < \frac{\tau_2 T^2}{2} < 2, \text{ 或 } 0 < \tau_1 T < 2 \\ -2 < \frac{\tau_2 T^2}{2} - \tau_1 T < 0, \end{cases} \quad (6)$$

则  $W'(z)$  是渐近稳定的。即定理 1 的条件  $a$  成立。

由(3)的第一式,定理 1 的  $b$  和  $c$  相应地变化,选择适当的  $k'$ ,使以下两式成立:

$$b') \quad 0 < \frac{f'(\sigma)}{\sigma} < k',$$

$$c') \quad R_e[W(e^{j\omega T})] > -\frac{1}{k'}.$$

因为

$$e^{j\omega} = \cos \omega + j \sin \omega,$$

代入(4)得:

$$\left\{ \begin{array}{l} Re[W'(e^{j\omega T})] = \left\{ [(2\tau_1 T + \tau_2 T^2) \cos \omega T + (2\tau_1 T - \tau_2 T^2)] \right. \\ \cdot \left[ \cos 2\omega T + \left( \tau_1 T + \frac{\tau_2 T^2}{2} - 2 \right) \cos \omega T \right. \\ \left. + \left( \frac{\tau_2 T^2}{2} - \tau_1 T + 1 \right) \right] - 2 \left( \tau_1 T + \frac{\tau_2 T^2}{2} \right) \sin^2 \omega T \left. \right\} / \\ \left\{ \left[ \cos 2\omega T + \left( \tau_1 T + \frac{\tau_2 T^2}{2} - 2 \right) \cos \omega T \right. \\ \left. + \left( \frac{\tau_2 T^2}{2} - \tau_1 T + 1 \right)^2 \right] - \left( \tau_1 T + \frac{\tau_2 T^2}{2} \right)^2 \sin^2 \omega T \right\}, \\ Im[W'(e^{j\omega T})] = \left\{ \left( \tau_1 T + \frac{\tau_2 T^2}{2} \right) \left\{ \cos 2\omega T \right. \right. \\ \left. + \left[ 4 \left( \tau_1 T + \frac{\tau_2 T^2}{2} \right) - 2 \right] \cos \omega T + 1 \right\} \sin \omega T \left. \right\} / \\ \left\{ \left[ \cos 2\omega T + \left( \tau_1 T + \frac{\tau_2 T^2}{2} - 2 \right) \cos \omega T \right. \\ \left. + \left( \frac{\tau_2 T^2}{2} - \tau_1 T + 1 \right)^2 \right] - \left( \tau_1 T + \frac{\tau_2 T^2}{2} \right)^2 \sin^2 \omega T \right\}. \end{array} \right. \quad (7)$$

显然  $W'(z)$  是“0”型系统(图 7),且非线性限幅器的线性段斜率可选得任意小,所以总能存在  $\tau_1$ ,  $\tau_2$  及  $k'$  使得

$$Re[W'(e^{j\omega T})] > -\frac{1}{k'}$$

成立,即系统满足绝对稳定条件。

例如,根据模拟计算及数值计算,当  $T=1$  秒,取限幅器线性段斜率  $k=1$ ,  $\tau_1=1.31$ ,  $\tau_2=0.25$ , 脉冲宽度限制为  $48-96^\circ$  时为最佳参数(指过渡过程时间最短)。

### 3. 稳态误差

以下利用终值定理,计算系统的稳态误差。

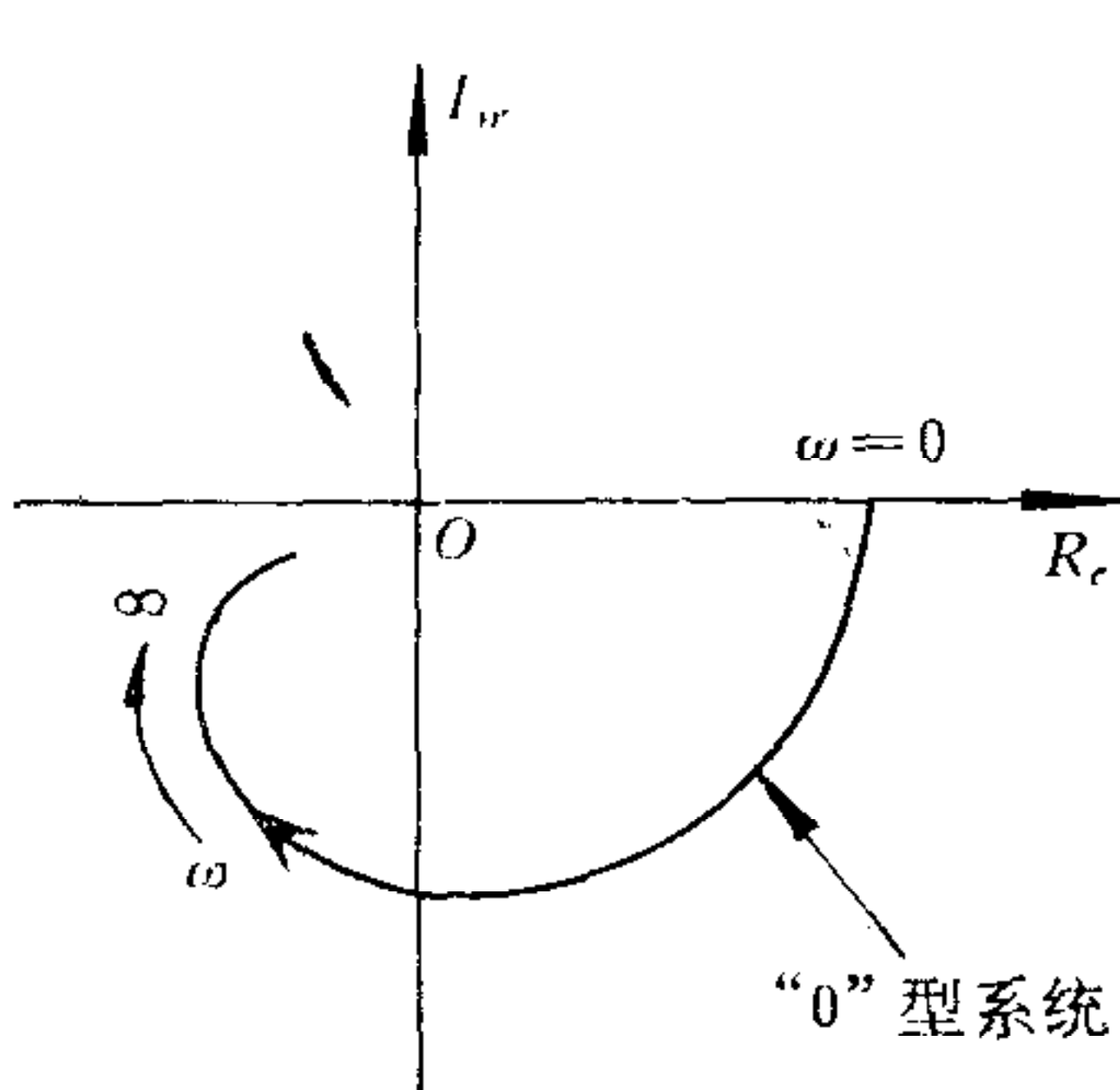


图 7

1) 输入为单位阶跃函数

即

$$\phi_1(t) = u(t),$$

则

$$\phi_1(z) = Z[\phi_1(t)] = \frac{z}{z - 1},$$

所以

$$\phi_{ss} = \lim_{z \rightarrow 1} \frac{1}{1 + W(z)} = 0.$$

即位置无差。

2) 输入为单位速度函数

即

$$\phi_1(t) = t,$$

则

$$\phi_1(z) = Z[\phi_1(t)] = \frac{Tz}{(z - 1)^2},$$

所以

$$\phi_{ss} = \lim_{z \rightarrow 1} \frac{T}{(z - 1)[1 + W(z)]} = 0$$

即速度无差。

3) 当输入为加速度时

即

$$\phi_1(t) = t^2,$$

则

$$\phi_1(z) = Z[\phi_1(t)] = \frac{T^2 z(z + 1)}{2(z - 1)^3},$$

所以

$$\phi_{ss} = \frac{T^2}{2} \lim_{z \rightarrow 1} \frac{z + 1}{(z - 1)^2[1 + W(z)]} = \frac{1}{\tau_2}$$

即加速度有差。

通过以上研究可知，本系统是速度无差系统，加速度误差正比于  $1/\tau_2$ 。因此，当参考信号为恒定频率的信号时，系统的稳态误差仅取决于部件本身的性能指标。跟踪频率变化的能力将取决于  $\tau_2$  的大小。

#### 4. 暂态过程

假定非线性段的线性区充分宽，以下给出暂态过程的近似表达式。

因为

$$\frac{\phi}{\phi_1}(z) = \frac{(z - 1)^2}{z^2 + az + \beta}, \quad (8)$$

所以

$$\phi(z) = \frac{(z - 1)^2}{z^2 + az + \beta} \phi_1(z). \quad (9)$$

其中

$$\begin{cases} \alpha = \tau_1 T + \frac{\tau_2 T^2}{2} - 2, \\ \beta = \frac{\tau_2 T}{2} - \tau_1 T + 1, \end{cases} \quad (10)$$

1) 阶跃输入

即

$$\phi_1(t) = \varphi_1 u(t), \quad (\varphi_1 = \text{常数})$$

则

$$\phi_1(z) = z[\varphi_1 u(t)] = \frac{\varphi_1 z}{z - 1},$$

所以

$$\begin{aligned} \phi(z) &= \frac{(z - 1)^2}{z^2 + \alpha z + \beta} \cdot \frac{\varphi_1 z}{z - 1} \\ &= \varphi_1 [1 - (1 + \alpha)z^{-1} + (\alpha - \beta + \alpha^2)z^{-2} - (\beta - \alpha^2 + 2\alpha\beta - \alpha^3)z^{-3} + \dots]. \end{aligned}$$

取反变换, 求得暂态过程表达式

$$\begin{aligned} \varphi(t) &= z^{-1}[\phi(z)] = \varphi_1 [\delta(t) - (1 + \alpha)\delta(t - T) + (\alpha - \beta + \alpha^2)\delta(t - 2T) \\ &\quad - (\beta - \alpha^2 + 2\alpha\beta - \alpha^3)\delta(t - 3T) + \dots] \end{aligned} \quad (11)$$

例. 取  $T = 1$  秒,  $\tau_1 = 1.31$ ,  $\tau_2 = 0.25$ . 则由式 (10) 求得  $\alpha = -0.565$ ,  $\beta = -0.185$ , 再代入式 (11) 得:

$$\varphi(t) = \varphi_1 [\delta(t) - 0.435\delta(t - 1) - 0.560\delta(t - 2) - 0.534\delta(t - 3) + \dots].$$

2) 速度输入

即

$$\phi_1 = vt,$$

则

$$\phi_1(z) = Z[v t] = \frac{v T z}{(z - 1)^2}, \quad (12)$$

把 (12) 代入 (9) 得

$$\begin{aligned} \phi(z) &= \frac{(z - 1)^2}{z^2 + \alpha z + \beta} \frac{v T z}{(z - 1)^2} \\ &= v T [z^{-1} - \alpha z^{-2} + (\alpha^2 - \beta)z^{-3} + (2\alpha\beta - \alpha^3)z^{-4} + \dots] \end{aligned}$$

取反变换, 即求得暂态过程:

$$\begin{aligned} \varphi(t) &= v [\delta(t - T) + \alpha\delta(t - 2T) + (\alpha^2 - \beta)\delta(t - 3T) \\ &\quad + (2\alpha\beta - \alpha^3)\delta(t - 4T) + \dots]. \end{aligned} \quad (13)$$

例. 取  $T = 1$  秒,  $\tau_1 = 1.31$ ,  $\tau_2 = 0.25$  则由式 (13) 得  $\alpha = -0.565$ ,  $\beta = -0.185$  再代入 (13) 得:

$$\varphi(t) = v [\delta(t - 1) - 0.565\delta(t - 2) + 0.504\delta(t - 3) + 0.389\delta(t - 4) + \dots].$$

### 三、计算

#### 1. 模拟计算

利用模拟计算机按图 8 的模拟线路, 进行了模拟计算。

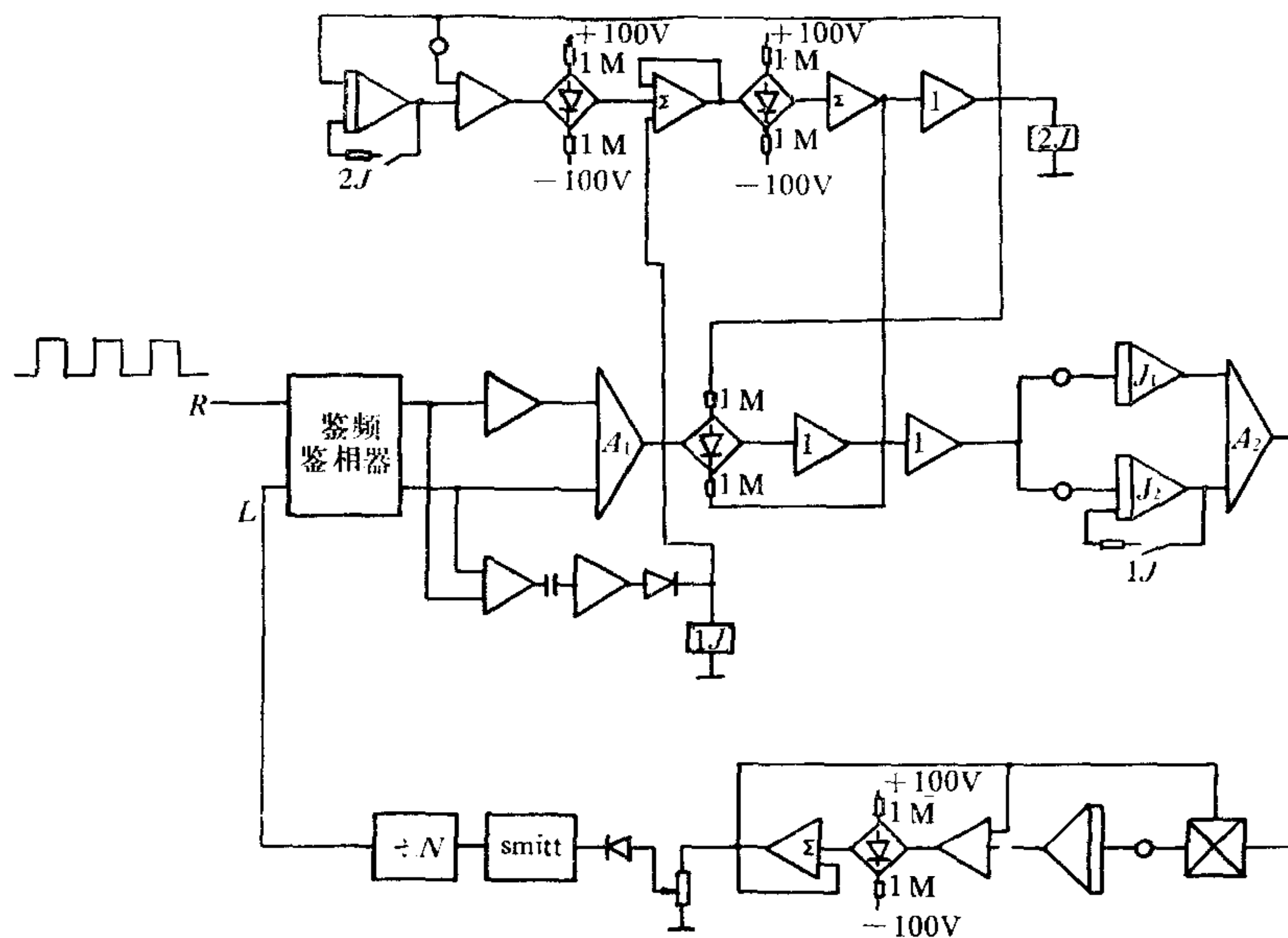


图 8 模拟线路图

在模拟计算中利用优选法<sup>[6]</sup>进行了最佳参数选择。最优指标是过渡过程时间最短。计算步骤是：第一步利用式(6)估算出参数变化范围；第二步固定  $\tau_2$  和对脉冲宽度限制，对  $\tau_1$  取最优，设为  $\tau_1^0$ ；第三步取定  $\tau_1^0$  和对  $\tau_2$  取最优，设为  $\tau_2^0$ ；最后取定  $\tau_1^0$  和  $\tau_2^0$ ，对宽度

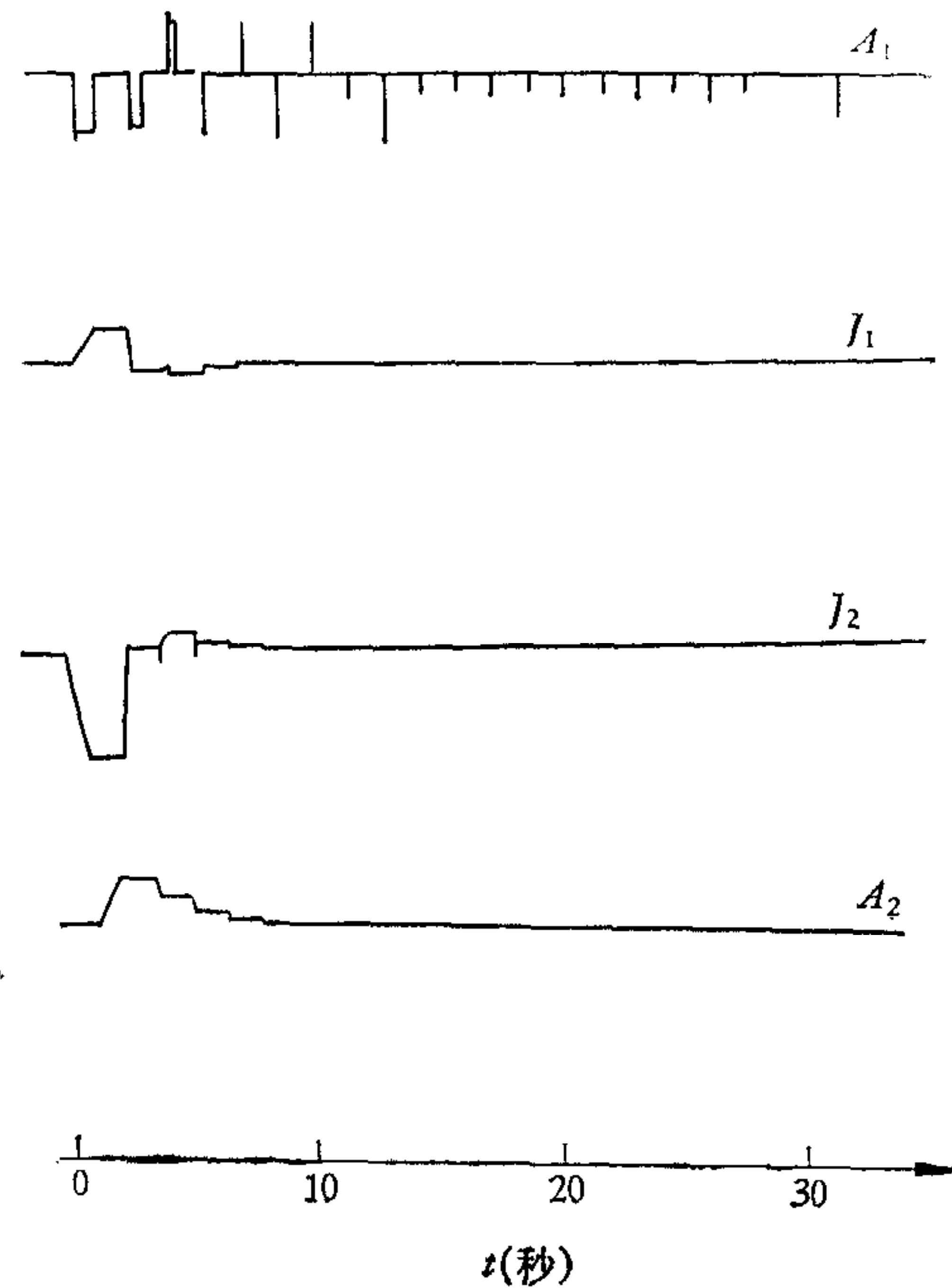


图 9 模拟计算结果

脉冲宽度限制为  $48^\circ$ ,  $\tau_1 = 1.31$ ,  $\tau = 0.25$ , 初始相位误差  $\varphi_{t_0} = -180^\circ$

限制取优。计算结果见图 9。

## 2. 数值计算

对上面讨论的系统，在模拟计算基础上又进行了数值计算和最优参数选择。计算中采用下述数学模型：

鉴频-鉴相器的逻辑关系：

若：①  $R = L = 0$ , 则  $RA = LW = 0$ ;

②  $R = L = 1$ , 则  $RA = LW = 0$ ;

③  $t = t_{-0}$  时,  $R = L = 0$ , 当  $t > t_{+0}$  时,

$$\begin{cases} RA = 1, LW = 0, \text{ 若 } R = 1, L = 0 \\ LW = 1, RA = 0, \text{ 若 } R = 0, L = 1; \end{cases}$$

④  $t = t_{-0}$  时,  $R = L = 1$ , 当  $t > t_{+0}$  时,

$$\begin{cases} RA = 1, LW = 0, \text{ 若 } R = 0, L = 1 \\ RA = 0, LW = 1, \text{ 若 } R = 1, L = 1. \end{cases}$$

其中  $R$  为参考信号;  $L$  为反馈信号;  $RA, LW$  为鉴频-鉴相器的两路输出。

参考信号

$$R = \sum_{n=0}^{\infty} \left[ u\left(t - n \frac{2\pi}{\omega_0}\right) - u\left(t - (n+1) \frac{2\pi}{\omega_0}\right) \right],$$

校正网络输出电压

$$\begin{aligned} v(t) = a & \left[ \sum_{n=0}^{i-1} \int_{T_n}^{T_{n+1}} (RA - LW) dt + \int_{T_i}^t (RA - LW) dt \right] \\ & + b \int_{T_i}^t (RA - LW) dt, \end{aligned}$$

其中  $T_j$  满足以下条件:

$$RA + LW = 0, \text{ 当 } T_{j-0},$$

$$RA + LW = 1, \text{ 当 } T_{j+0}.$$

$T_{j+1}$  的值取为限幅器的限幅值。 $T_j \leq t \leq T_{j+1}$  ( $j = 1, 2, \dots$ )。

VCO 的频率为

$$\omega(t) = cv(t).$$

其中  $c$  为转换系数。

$$\text{迴路反馈相位 } L = \sum_{n=0}^{\infty} [u(t - t_n) - u(t - t_{n+1})],$$

$$\text{其中 } t_n = \int_0^{t_n} [\omega_1(t) + \omega(t)] dt + \varphi_{t_0} = 2n\pi.$$

$\omega_1(t)$  对应 VCO 的中心频率;  $\varphi_{t_0}$  是初始相位差。

例. 取  $T = 1$  秒, 脉冲宽度限制为  $48^\circ - 96^\circ$ ,  $\tau_1 = cb = 1.57$ ,  $\tau_2 = ac = 0.29$  及  $\varphi_{t_0} = 180^\circ$ , 经计算达到稳态时间是 34.55 秒, 稳态误差为零。

通过计算证实了理论分析是正确的, 可得出以下结论:

- ① 系统是稳定的；
- ② 当  $R$  的频率固定不变时，系统的稳态误差为零；
- ③ 当  $R$  的频率在一定范围内变化时，系统的稳态误差仍为零；
- ④ 当  $\omega_0$  具有固定变化率时，系统出现稳态误差，且反比于  $1/\tau_2$ 。

## 四、讨 论

通过理论分析、仿真试验和实际应用，充分说明本方案是可行的，其优点也十分明显。本方案既适用于全数字化线路也适用于模拟线路。一般说来，采用全数字化线路，其稳态误差取决于量化误差，因此容易实现高精度。采用模拟线路比较容易实现，但因受到元、部件等性能指标影响，其稳态精度比之数字化线路要差。因为要求高的稳态精度，必然要求 VCO 有高的频率稳定度，为此，要求有高稳定度的电源，而稳定度为  $10^{-3}$  以上的电源，实现上比较困难；此外放大器、积分器的零漂和噪声干扰等都是影响稳态精度的因素。

## 参 考 文 献

- [1] Gupta, S. C., 锁相环综述，国外电子技术（1975）第四期，赵洪译，丁锡鹏、王合校。
- [2] “锁相技术”编译组译，锁相技术，科学出版社，1971。
- [3] Brow, J. L., A Digital Phase and Frequency Sensitive Detector, Proc. IEEE, 59(1971), 717—718.
- [4] David, P. L., Theory of Sampled-data Control Systems, New York, Wiley, 1965.
- [5] Kuo, T. I., Analysis and Synthesis of Sampled-data Control Systems, Prentice-Hall, 1963.
- [6] 齐念一，优选法平话，科学出版社，1971。

## THE DESIGN OF DIGITAL PLL

GUO ZHAOZENG

(Beijing Institute of Control Engineering)

### ABSTRACT

In this paper a kind of the digital PLL (phase lock-loop) with a new compensating network is presented which can be used in the low frequency ( $<1$  Hz) phase locking system. The features of PLL are high precision, quick dynamic response and large locking range.